

Б-742

13/VI-69

СООБЩЕНИЯ  
ОБЪЕДИНЕННОГО  
ИНСТИТУТА  
ЯДЕРНЫХ  
ИССЛЕДОВАНИЙ

Дубна

P2 • 4418



ЛАБОРАТОРИЯ ТЕОРЕТИЧЕСКОЙ ФИЗИКИ

П.Н.Боголюбов

О КВАРКОВОЙ МОДЕЛИ  
С НЕРАВНЫМИ МАССАМИ КВАРКОВ

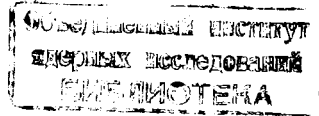
1969

P2 - 4418

4826/2 49

П.Н.Боголюбов

О КВАРКОВОЙ МОДЕЛИ  
С НЕРАВНЫМИ МАССАМИ КВАРКОВ



В работах /1,2/ рассматривались составные модели мезонов и барионов как связанных состояний соответственно кварка и антикварка или трех夸克ов. Для случая, например, барионов, мы исходили из уравнения вида:

$$\{(\partial_1 - M)(\partial_2 - M)(\partial_3 - M) + M V_{1,2,3}\} \psi_{a_1 a_2 a_3}(x_1, x_2, x_3) = 0, \quad (1)$$

где  $\partial_j$  — операторы Дирака,  $V$  — член, представляющий взаимодействие и зависящий от трех релятивистских скаляров

$$R_1^2 = (\vec{x}_3 - \vec{x}_2)^2 - (x_3^0 - x_2^0)^2$$

$$R_2^2 = (\vec{x}_3 - \vec{x}_1)^2 - (x_3^0 - x_1^0)^2$$

$$R_3^2 = (\vec{x}_2 - \vec{x}_1)^2 - (x_2^0 - x_1^0)^2.$$

Массы  $M$  всех трех夸克ов полагались равными. Такое приближение использовалось для рассмотрения возможностей применения в кварковых моделях уравнений типа (1); было показано, что с помощью этих уравнений можно получить соответствующие связанные состояния. Расщепление уровней масс связанных состояний может быть достигнуто в таких моделях различными путями, введением, например, в потенциал взаимодействия членов, зависящих от спина, изотопспина и четности. Однако для получения утяжеления за счет странного  $\lambda$ -кварка нужно считать, по крайней мере, массу одного кварка отличной от массы двух остальных. Рассмотрением этого вопроса мы будем заниматься в настоящей заметке.

Начнем изучение уравнений для мезонов и барионов с простого случая, когда уравнения квадрированы. Для мезонов:

$$\{(\partial_1^2 - M_1^2)(\partial_2^2 - M_2^2) - (M^4 + M^2 V)\} \psi = 0 \quad (2)$$

и для барионов

$$\{(\partial_1^2 - M_2^2)(\partial_2^2 - M_2^2)(\partial_3^2 - M_3^2) + (M^6 + M^4 V)\} \psi = 0. \quad (3)$$

Здесь:

$$M_j^2 = M^2 + m_j.$$

Вид скалярного потенциала взаимодействия выбран так, чтобы использовать обычное предположение о том, что масса夸克ов велика, а потенциал компенсирует эту большую массу. Раскрыв эти уравнения и перейдя к пределу при  $M \rightarrow \infty$ , сразу получим для мезонов

$$\{\partial_1^2 + \partial_2^2 - (m_1 + m_2) - V\} \psi = 0 \quad (4)$$

и для барионов

$$\{\partial_1^2 + \partial_2^2 + \partial_3^2 - (m_1 + m_2 + m_3) - V\} \psi = 0. \quad (5)$$

Сделав соответствующую замену переменных для выделения координат центра тяжести и относительного движения, для масс рассматриваемых связанных состояний получим:

$$\begin{aligned} M_M^2 &= E_{0H}^2 + 2(m_1 + m_2) \\ \overline{M}_B^2 &= E_{0B}^2 + 3(m_1 + m_2 + m_3). \end{aligned} \quad (6)$$

Здесь все наши рассуждения основывались на уравнениях типа (2) и (3), содержащих квадрированные операторы Дирака  $\partial_j^2$ . По-видимому, для

систем, состоящих из кварков и антикварков, было бы более естественным исходить из неквадрированных уравнений.

Начнем с уравнения для мезонов, имея в виду использование формального предельного перехода  $M \rightarrow \infty$ . Соответствующее уравнение запишем в виде:

$$\{(\partial_1 - M_1)(\partial_2 + M_2) + \gamma_5^{(1)} \gamma_5^{(2)} (M^2 - U)\} \psi = 0. \quad (7)$$

Здесь, как и ранее,  $M_j^2 = M^2 + m_j^2$ ,

$$M_j \approx M + \frac{m_j}{2M}.$$

Положим здесь

$$(1 + \gamma_5^{(1)} \gamma_5^{(2)}) \psi_+ = \psi_+$$

$$(1 - \gamma_5^{(1)} \gamma_5^{(2)}) \psi_- = \psi_-,$$

Помножив уравнение (7) слева на  $(1 + \gamma_5^{(1)} \gamma_5^{(2)})$  и на  $(1 - \gamma_5^{(1)} \gamma_5^{(2)})$ , получим уравнения для  $\psi_+$  и  $\psi_-$

$$\partial_1 \partial_2 \psi_+ + \partial_1 M \psi_- - \partial_2 M \psi_+ + \frac{\partial_1 m_2}{2M} \psi_- - \frac{\partial_2 m_1}{2M} \psi_+ -$$

$$- M^2 \psi_+ - \frac{m_1 + m_2}{2} \psi_+ - \frac{m_1 m_2}{4M^2} \psi_+ + \gamma_5^{(1)} \gamma_5^{(2)} M^2 \psi_+ - \gamma_5^{(1)} \gamma_5^{(2)} U \psi_+ = 0 \quad (8)$$

$$\partial_1 \partial_2 \psi_- + \partial_1 M \psi_+ - \partial_2 M \psi_- + \frac{\partial_1 m_2}{2M} \psi_+ - \frac{\partial_2 m_1}{2M} \psi_- - M^2 \psi_+ -$$

$$- \frac{m_1 + m_2}{2} \psi_- - \frac{m_1 m_2}{4M^2} \psi_- - M^2 \psi_- + U \psi_- = 0.$$

(9)

Подставив в (8) выражение для  $\psi_-$ , полученное из (9), и произведя переход к пределу при  $M \rightarrow \infty$ , запишем для  $\psi_+$ :

$$\{\partial_1^2 + \partial_2^2 - (m_1^2 + m_2^2) - 2U\} \psi_+ = 0, \quad (10)$$

но при предельном переходе  $M \rightarrow \infty$  из (9) видно, что  $\psi_- = 0$ , следовательно,  $\psi = \psi_+ / 2$ , поэтому окончательно из (10) получим:

$$\{ \partial_1^2 + \partial_2^2 - (m_1 + m_2) - 2U \} \psi = 0. \quad (11)$$

Это уравнение совпадает с уравнением (4), полученным из квадрированного уравнения типа Бете-Солпитера (2).

Рассмотрим теперь неквадрированное уравнение для барионов. Оно будет отличаться от рассматривавшегося ранее уравнения тем, что в потенциал взаимодействия мы введем, кроме членов, содержащих  $\gamma_5$ , чисто скалярные члены, а именно: запишем уравнение для барионов в следующем виде:

$$\{(\partial_1 - M_1)(\partial_2 - M_2)(\partial_3 - M_3) - [N - \frac{(N+1)}{3}(\rho_1 \rho_2 + \rho_1 \rho_3 + \rho_2 \rho_3)](M^3 - MU)\} \psi = 0 \quad (12)$$

$$\rho = i \gamma_5, \quad \rho^2 = 1.$$

Здесь, как и ранее,  $M_j^2 = M^2 + m_j^2$ . Используя технику, разработанную нами в /2/, упростим это уравнение за счет предельного перехода  $M \rightarrow \infty$ . Для этого введем проекционные операторы:

$$\Gamma_0 = \frac{1}{8} (1 + \rho_1 \rho_2)(1 + \rho_1 \rho_3)(1 + \rho_2 \rho_3) = \frac{1}{4} (1 + \rho_1 \rho_2 + \rho_1 \rho_3 + \rho_2 \rho_3)$$

$$\Gamma_1 = \frac{1}{8} (1 - \rho_1 \rho_2)(1 - \rho_1 \rho_3)(1 + \rho_2 \rho_3) = \frac{1}{4} (1 - \rho_1 \rho_2 - \rho_1 \rho_3 + \rho_2 \rho_3)$$

$$\Gamma_2 = \frac{1}{8} (1 - \rho_1 \rho_2)(1 + \rho_1 \rho_3)(1 - \rho_2 \rho_3) = \frac{1}{4} (1 - \rho_1 \rho_2 + \rho_1 \rho_3 - \rho_2 \rho_3)$$

$$\Gamma_3 = \frac{1}{8} (1 + \rho_1 \rho_2)(1 - \rho_1 \rho_3)(1 - \rho_2 \rho_3) = \frac{1}{4} (1 + \rho_1 \rho_2 - \rho_1 \rho_3 - \rho_2 \rho_3)$$

и представим произвольное  $\psi$  в виде суммы собственных функций операторов  $(\rho_1 \rho_2)$ ,  $(\rho_1 \rho_3)$ ,  $(\rho_2 \rho_3)$ :

$$\psi = \psi_0 + \psi_1 + \psi_2 + \psi_3. \quad (13)$$

Для проекционных операторов имеем:

$$\sum_{j=0}^3 \Gamma_j = 1 \quad \text{и потому} \quad \psi = \sum_{j=0}^3 \Gamma_j \psi .$$

Нетрудно убедиться, что это и есть представление (13), т.е.  $\psi_j = 1_j \psi$ . Записав теперь уравнения для компонент  $\psi$  и подставив в уравнение для  $\psi_0$  значения  $\psi_j$  из соответствующих уравнений, получим в пределе большой массы  $M$ :

$$\left\{ \partial_1^2 + \partial_2^2 + \partial_3^2 - \frac{2}{3}(N+1)(m_1 + m_2 + m_3) - A(N)U \right\} \psi = 0 . \quad (14)$$

Выделив здесь, как и ранее, движение центра тяжести и относительное движение, получим из (11) для мезонов:

$$M_M^2 = M_{0M}^2 + 2(m_1 + m_2)$$

и из (14) для барионов:

$$M_B^2 = M_{0B}^2 + 2(N+1)(m_1 + m_2 + m_3) .$$

Точно так же, вводя в потенциал уравнения для мезонов чисто скалярный член, можно получить аналогичную формулу для мезонов. Вообще здесь нужно указать, что преимущества чисто скалярного потенциала для других кварковых моделей неоднократно отмечались /3,4/, и здесь мы пользуемся псевдоскалярным потенциалом только для упрощения задачи. Было бы, вероятно, интересно провести более подробное исследование, включив в потенциал взаимодействия члены, зависящие от спина, изотопспина и четности. Возможно, при этом выяснился бы смысл параметра  $N$ , который в данном случае необходим для получения правильного отношения мезон-барионного утяжеления.

В заключение считаю своим приятным долгом выразить глубокую благодарность Н.Н. Боголюбову, А.Н. Тавхелидзе, Д.В. Ширкову и Б.В. Струминскому за ценные обсуждения.

*Л и т е р а т у р а*

1. П.Н. Боголюбов. Препринт ОИЯИ Р-2098, Дубна (1965).
2. П.Н. Боголюбов. Препринт ОИЯИ Р-2186, Дубна (1965).
3. H.J.Lipkin, A.N.Tavkhelidze Preprint ICTP, IC/65/54.
4. P.N.Bogolubov, Annales de L'Institut Henri Poincare VIII, 2(1968).

Рукопись поступила в издательский отдел

15 апреля 1969 года.